



Kierunek studiów: Geoinformacja

Nr albumu: 444861

**Błażej Kościański**

**Zmiany pokrycia terenu dla obszaru Polski:  
1990-2018**

*Analysis of land cover changes in Poland between 1990  
and 2018*

Praca inżynierska napisana  
w Instytucie Geoekologii i Geoinformacji  
pod kierunkiem  
dr. Jakuba Nowosada

Poznań, 2022



---

Poznań, dnia .....

## OŚWIADCZENIE

Ja, niżej podpisany/a student/ka Uniwersytetu im. Adama Mickiewicza w Poznaniu oświadczam, że przedkładaną pracę dyplomową napisałem/napisałam samodzielnie. Oznacza to, że przy pisaniu pracy, poza niezbędnymi konsultacjami, nie korzystałem/am z pomocy innych osób, a w szczególności nie zlecałem/am opracowania rozprawy lub jej części innym osobom, ani nie odpisywałem/am tej rozprawy lub jej części od innych osób.

Oświadczam również, że egzemplarz pracy dyplomowej w wersji drukowanej jest całkowicie zgodny z egzemplarzem pracy dyplomowej w wersji elektronicznej.

Jednocześnie przyjmuję do wiadomości, że przypisanie sobie, w pracy dyplomowej, autorstwa istotnego fragmentu lub innych elementów cudzego utworu lub ustalenia naukowego stanowi podstawę stwierdzenia nieważności postępowania administracyjnego w sprawie nadania tytułu zawodowego.

[    ]\* - wyrażam zgodę na udostępnianie mojej pracy w czytelni Archiwum UAM

[    ]\* - wyrażam zgodę na udostępnianie mojej pracy w zakresie koniecznym do ochrony mojego prawa do autorstwa lub praw osób trzecich

\*Należy wpisać TAK w przypadku wyrażenia zgody na udostępnianie pracy w czytelni Archiwum UAM, NIE w przypadku braku zgody. Niewypełnienie pola oznacza brak zgody na udostępnianie pracy.

.....

(czytelny podpis studenta)

---

## Streszczenie

Ocena dynamiki zmian pokrycia terenu ma ważne znaczenie dla skutecznego planowania i zarządzania zasobami. W wyniku programów monitorowania zmian pokrycia terenu powstają liczne zbiory danych umożliwiające wykonanie takich analiz nawet w skali globalnej. Większość analiz zmian pokrycia terenu wykonanych w przeszłości, skupiała się wyłącznie na aspektach ilości i lokalizacji zachodzących zmian. Celem tej pracy było określenie zmian ilościowych oraz charakteru przestrzennego głównych zmian pokrycia terenu na obszarze Polski w latach 1990-2018 dodatkowo rozszerzając metody analiz przestrzennych o analizy struktur przestrzennych. Do pracy wykorzystane zostały zbiory danych przestrzennych o pokryciu terenu CORINE Land Cover (CLC). Zmiany ilościowe zostały obliczone wykorzystując kalkulacje oparte na algebrze rastrów. Analiza przestrzennego charakteru zmian pokrycia terenu wykonana została w oparciu o metody wykorzystujące obliczenia sygnatur przestrzennych dla mniejszych obszarów wydzielonych z obszaru badań. Wynikiem pracy są informacje o najważniejszych kierunkach zmian pokrycia terenu, który zaszły na obszarze Polski w latach 1990-2018.

Słowa kluczowe: struktura przestrzenna, sygnatury przestrzenne, pokrycie terenu, CORINE Land Cover, CLC

## Abstract

Przetłumaczę jak już będę miał streszczenie skończone na 100%.

Keywords: spatial patterns, spatial signatures, land cover, CORINE Land Cover, CLC

# Spis treści

Streszczenie . . . . .	4
Abstract . . . . .	4
<b>1 Wprowadzenie</b>	<b>7</b>
<b>2 Przegląd literatury</b>	<b>9</b>
<b>3 Materiały</b>	<b>11</b>
3.1 Obszar badań . . . . .	11
3.2 Dane CORINE Land Cover . . . . .	11
3.3 Dane dodatkowe . . . . .	13
<b>4 Metody</b>	<b>15</b>
4.1 Reklasyfikacja danych CLC . . . . .	15
4.2 Wykorzystane oprogramowanie . . . . .	16
4.3 Przygotowanie danych do analizy struktury przestrzennej <b>może jakaś inna nazwa?</b> . . . . .	20
<b>5 Wyniki</b>	<b>25</b>
5.1 Analiza zmian na poziomie krajowym . . . . .	25
5.2 Analiza zmian struktur przestrzennych dla wyodrębnionych jednostek przestrzennych . . . . .	31
<b>6 Podsumowanie</b>	<b>39</b>
<b>Bibliografia</b>	<b>41</b>



# Rozdział 1

## Wprowadzenie

Pokrycie terenu stanowi wszelkie obiekty znajdujące się na powierzchni Ziemi związane zarówno ze skutkami sił przyrody, jak i działalności człowieka. Wśród tych obiektów znajduje się rzeźba terenu, zjawiska hydrograficzne, kompleksy roślinne oraz wszelkie formy antropogeniczne (Olędzki i in., 1987). Pokrycie terenu dla dużych obszarów zazwyczaj opisywane jest za pomocą danych o pokryciu terenu.

Monitorowanie pokrycia terenu stanowią wszelkie procesy, których celem jest gromadzenie informacji o stanie środowiska geograficznego. Informacje pozyskane w wyniku tych procesów, pomagają określić zmiany zachodzące w otaczającym nas świecie. Zmiany pokrycia terenu są zazwyczaj powolnym procesem, jednakże mają bezpośredni wpływ na zmiany klimatu i warunki środowiskowe. Zmiany te są także ściśle powiązane z działalnością człowieka. Znaczna część zmian pokrycia terenu będących skutkiem antropopresji ma charakter negatywny i jest związana z rozwojem środowisk antropogenicznych. Zmiany te prowadzą do stopniowej utraty bioróżnorodności ekosystemów. Działalność człowieka może mieć także pozytywny wpływ na stan środowiska naturalnego, np. zakładanie obszarowych form ochrony przyrody. Dlatego też monitorowanie zmian pokrycia terenu, a także ocena dynamiki tych zmian ma pierwszorzędne znaczenie dla skutecznego planowania i zarządzania zasobami.

Jednym z programów, których celem jest monitorowanie pokrycia terenu, jest program CORINE przyjęty w 1985 roku przez Komisję Europejską. Program ten oparty

jest o analizie licznych obrazów satelitarnych, które następnie są interpretowane do uproszczonej postaci danych podzielonych na ustalone kategorie pokrycia terenu. Do wyników programu CORINE należą między innymi zbiory danych o pokryciu terenu CORINE Land Cover (CLC), obejmujące obszar większości państw europejskich. Dane te są szczególnie popularne w celach analiz zmian pokrycia terenu (Mierzwiak i in., 2019) (Ciołkosz i in., 2006).

Zmiany pokrycia terenu można analizować wykorzystując różne metody. Najbardziej podstawowym sposobem, jest prosta analiza zmian ilościowych pokrycia terenu na analizowanym obszarze. Inny sposób, oparty o metody wywodzące się z dziedziny ekologii krajobrazów, polega na podzieleniu obszaru badań na mniejsze jednostki przestrzenne, a następnie wykonanie różnorodnych analiz wewnątrz tych jednostek. Analizy można wykonać dla obszarów regularnych lub nieregularnych. Podstawowa metoda podziału na obszary regularne zakłada podzielenie dużego regionu na mniejsze obszary o kształcie kwadratu. Innym podejściem jest podział na obszary nieregularne, które mogą być wynikiem wcześniejszych badań (np. ekoregiony) lub reprezentować pewne istniejące granice, takie jak podziały administracyjne (**motif**).

Jednym z rodzajów wspomnianych powyżej analiz są analizy oparte o sygnatury przestrzenne. Sygnatury przestrzenne stanowią statystyczny opis pewnych struktur przestrzennych występujących wewnątrz rastra **co powinienem tu zacytować?**. Takie podejście do analizy przestrzennej umożliwia między innymi ocenę zmian przestrzennej kompozycji i konfiguracji analizowanych jednostek przestrzennych.

Głównym celem tej pracy była analiza ogólnego charakteru oraz przestrzennego rozmieszczenia głównych zmian pokrycia terenu na obszarze Polski w latach 1990-2018. Poza ogólnymi zmianami ilościowymi, obliczonymi dla całego analizowanego obszaru, w pracy uwzględniono także analizy struktur przestrzennych w oparciu o obliczenia sygnatur przestrzennych dla mniejszych obszarów wydzielonych z obszaru badań. Dodatkowym celem było znalezienie i graficzna reprezentacja najbardziej zmienionych obszarów w przeciągu ostatnich 18 lat dynamicznego rozwoju.



## Rozdział 2

# Przegląd literatury

W pracy (Jakub Nowosad i in., [2019](#)) przedstawione zostały metody analizy globalnych zmian pokrycia terenu z wykorzystaniem technik opartych o analizy struktur przestrzennych, na których bazuje ta praca. Jednakże, ze względu na zastosowanie w powyższej pracy danych o pokryciu terenu pochodzących z programu ESA Climate Change Initiative (ESA CCI) o rozdzielczości przestrzennej 300m, wynikowa mapa globalnych zmian pokrycia terenu w latach 1992-2015 umożliwia określenie trendów zmian przestrzennych w badanym okresie wyłącznie w skali globalnej. W tej pracy, w celu wykonania szczegółowej analizy, bardziej dostosowanej do rozmiaru państw europejskich, wykorzystano dane o pokryciu terenu udostępniane w ramach europejskiego programu CORINE. Dane wynikowe programu CORINE użyte do celów tej pracy zostały bardziej wnikliwie opisane w podrozdziale 3.2.

Analiza w skali europejskiej przedstawiona została w pracy (Mucher i in., [2000](#)). W pracy tej opracowana została metoda umożliwiająca uzyskanie ogólnoeuropejskiej bazy danych pokrycia terenu o rozdzielczości przestrzennej 1 km, którą można w łatwy sposób aktualizować za pomocą danych satelitarnych. Jednakże, sam autor zwrócił uwagę na ograniczenia w monitorowaniu zmian przestrzennych wynikające z niewielkiej rozdzielczości przestrzennej użytych danych, co było powodem wykorzystania dodatkowych technik wykrywania zmian.

Dla obszaru Polski, analiza zmian pokrycia terenu została wykonana w publikacji autorstwa (Mierzwiak i in., 2019). Analiza ta została przeprowadzona dla lat 1990-2012 i także została oparta na danych pochodzących z programu CORINE. W przeciwieństwie do wspomnianej pracy, w tej pracy nie zostały wykorzystane bazy danych zmian pokrycia terenu między produktami programu CORINE. Zamiast tego, użyto produkty tego programu w postaci rastrowych map pokrycia terenu CORINE Land Cover dla lat 1990 i 2018. Statystyki dotyczące zmian pokrycia terenu między analizowanymi rastrami zostały obliczone za pomocą podstawowej algebry rastrów. Co więcej, podejście do analizy zmian przestrzennych zostało rozszerzone o analizę struktur przestrzennych na podstawie metod przedstawionych w pracy (Jakub Nowosad i in., 2019).

## **Rozdział 3**

# **Materiały**

### **3.1 Obszar badań**

Obszar badań obejmuje terytorium Polski, włącznie z obszarem morskich wód wewnętrznych i morzem terytorialnym. Oficjalna powierzchnia całego państwa wynosi 32271900 ha (źródło: Rocznik statystyczny RP, 2021). Ze względu na wykorzystanie w pracy danych rastrowych, rzeczywista powierzchnia objęta analizą wynosi 32272074 ha. 96,7% tej powierzchni obejmują obszary lądowe, włącznie z wodami śródlądowymi. Pozostałą część powierzchni stanowi obszar morskich wód wewnętrznych oraz morza terytorialnego.

Ukształtowanie terenu Polski ułożone jest równoleżnikowo. Obszary położone na północy i w centrum stanowią niziny, natomiast wyżyny i tereny górskie na południu. Większość powierzchni stanowią tereny nizinne, stanowiące około 75% powierzchni kraju.

### **3.2 Dane CORINE Land Cover**

Do analizy wykorzystane zostały zbiory danych przestrzennych o pokryciu terenu - CORINE Land Cover (CLC). Program CORINE (Coordination of Information on Environment) został przyjęty w 1985 roku przez Komisję Europejską. Jego celami było:

- zgromadzenie informacji o stanie środowiska geograficznego w zakresie priorytetowych tematów dla wszystkich krajów Wspólnoty,
- skoordynowanie wysiłków w zakresie gromadzenia danych i organizacji informacji na szczeblu krajów członkowskich i na szczeblu międzynarodowym,
- zagwarantowanie spójności informacji i zapewnienie kompatybilności danych

(źródło: <https://clc.gios.gov.pl>).

W większości państw CLC jest tworzony poprzez wizualną interpretację obrazów satelitarnych o wysokiej rozdzielczości. W kilku państwach stosuje się różne rozwiązania półautomatyczne, wykorzystujące między innymi przetwarzanie obrazów satelitarnych, GIS i generalizację danych. Minimalna mapowana jednostka dla CLC wynosi 25 hektarów dla obiektów przestrzennych i 100 metrów dla obiektów liniowych. Dodatkowo, wraz z każdym kolejnym produktem CLC powstaje także baza danych zmian między nowymi danymi, a ostatnio powstała baza, dla której stosuje się minimalną mapowaną jednostkę wynoszącą 5 hektarów.

Efekty programu CORINE udostępniane są w formacie rastrowym GeoTiff o rozdzielczości przestrzennej 100 metrów (oznacza to, że jeden piksel rastra obejmuje 1 hektar powierzchni) oraz formatach wektorowych ESRI i SQLite geodatabase. Układy współrzędnych, w jakich udostępniane są wyniki projektu CORINE zależne są od organu je rozpowszechniającego. Przykładowo, dane obejmujące obszar całej Europy, pozyskane z witryny Copernicus Land Monitoring Service (<https://land.copernicus.eu/pan-european/corine-land-cover>) wykorzystują układ współrzędnych ETRS-LAEA (EPSG:3035), natomiast dane udostępniane przez Główny Inspektorat Ochrony Środowiska (<https://clc.gios.gov.pl/>), uwzględniające wyłącznie dane dla terytorium Polski, wykorzystują Państwowy Układ Współrzędnych Geodezyjnych 1992 (EPSG:2180)

Dane inwentaryzacyjne CORINE Land Cover dostępne dla lat 1990, 2000, 2006, 2012 i 2018, zorganizowane są hierarchicznie w trzech poziomach szczegółowości. Na pierwszym poziomie wyszczególniono pięć głównych typów pokrycia globu ziemskiego: tereny antropogeniczne, tereny rolne, lasy i ekosystemy seminaturalne, obszary podmokłe oraz obszary wodne. Drugi poziom obejmuje 15 form pokrycia terenu, które można

przedstawić na mapach w skalach od 1:500 000 do 1:1 000 000. Dla trzeciego poziomu danych CLC wyróżnione zostały 44 klasy pokrycia terenu, obejmujące wszystkie formy pokrycia terenu występujące na kontynencie europejskim.

Do celów tej pracy, użyte zostały dane rastrowe, obejmujące obszar całej Europy, dla lat 1990 i 2018, udostępnione do pobrania na witrynie Copernicus Land Monitoring Service (<https://land.copernicus.eu/pan-european/corine-land-cover>).

### 3.3 Dane dodatkowe

W pracy wykorzystane zostały także dane wektorowe dotyczące oficjalnego podziału terytorialnego Polski pozyskane z Państwowego Rejestru Granic (PRG) udostępnionym na Geoportalu (<https://www.geoportal.gov.pl/dane/panstwowy-rejestr-granic>) oraz dane wektorowe z obszarami mezoregionów, pobrane z witryny Geoserwis (<http://geoserwis.gdos.gov.pl/mapy/>), prowadzonej przez Generalną Dyрекcyję Ochrony Środowiska. Wykorzystany podział na mezoregiony jest efektem doprecyzowania i uszczegółowienia granic regionów fizyczno-geograficznych z uwzględnieniem metodyki proponowanej w ostatnim podziale fizyczno-geograficznym Kondrackiego (1998, 2000).



## Rozdział 4

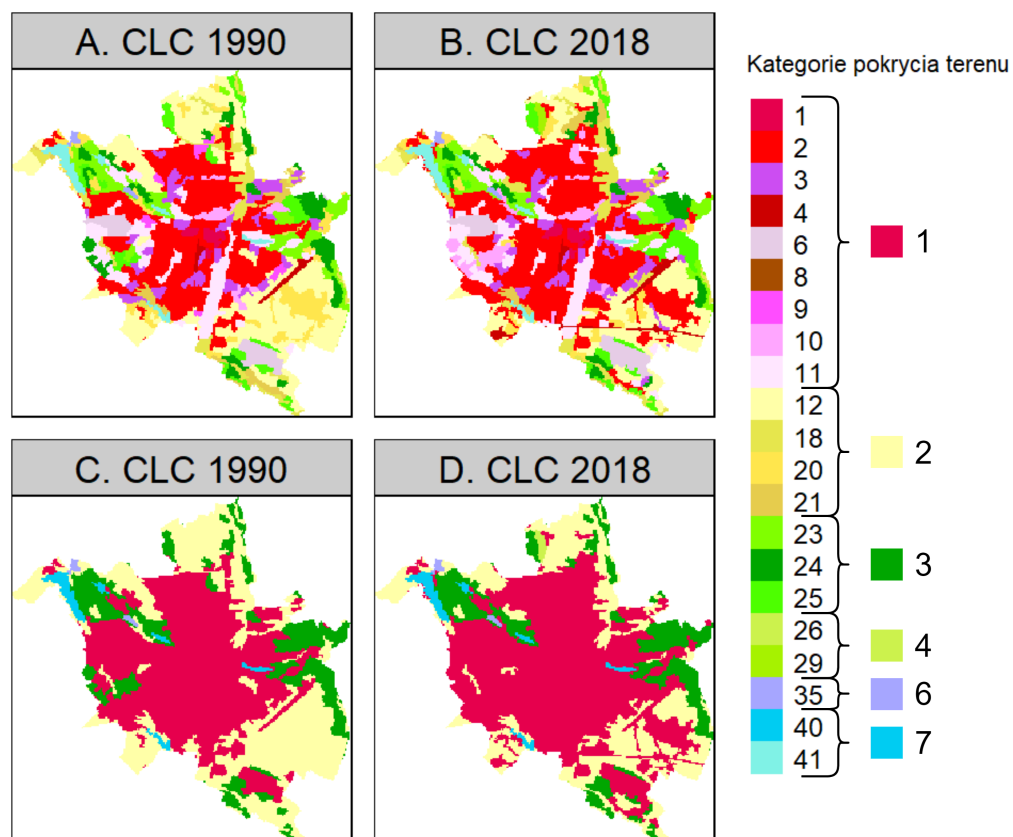
# Metody

### 4.1 Reklasyfikacja danych CLC

W celu ułatwienia interpretacji wyników, klasy CLC zostały poddane reklasyfikacji. Reklasyfikacja to proces ponownego przypisania jednej lub więcej wartości w zestawie danych rastrowych do nowych wartości wyjściowych. Dane o pokryciu terenu w programie CORINE udostępniane są na najniższym, trzecim poziomie podziału kategorii. Wykorzystanie wszystkich klas pokrycia terenu występujących na obszarze Polski doprowadziłoby do nadmiaru informacji i tym samym zwiększenia trudności interpretacji wyników. Rycina 4.1 przedstawia przykład wpływu reklasyfikacji na ilość kategorii pokrycia terenu występujących na obszarze miasta Poznań. Aby uniknąć powyższej sytuacji, klasy zostały zgrupowane do oryginalnego podziału dla pierwszego poziomu CLC, z wyjątkiem lasów i ekosystemów naturalnych, gdzie zastosowano podział dla poziomu drugiego.

W wyniku reklasyfikacji ilość klas pokrycia terenu została zmniejszona z 33 klas poziomu trzeciego występujących na obszarze Polski do 7. Otrzymano następujące kategorie pokrycia terenu:

1. tereny antropogeniczne,
2. tereny rolne,
3. lasy,



**Rysunek 4.1:** Porównanie danych CLC dla obszaru miasta Poznań przed i po reklasyfikacji

4. tereny krzewiaste,
5. tereny z rzadszą roślinnością,
6. obszary podmokłe,
7. obszary wodne.

## 4.2 Wykorzystane oprogramowanie

Wszystkie obliczenia i ryciny zostały przygotowane za pomocą języka *R* (R Core Team, 2020). Najważniejszym pakietem tego języka, który umożliwił przeprowadzenie analizy zmian struktur przestrzennych, był pakiet *motif* (Nowosad, 2021). Pakiet ten umożliwia przekształcenie kategoriycznych danych rastrowych, niosących wyłącznie



informacje o pojedynczych komórkach, w sygnatury przestrzenne, będące statystycznym opisem pewnych struktur przestrzennych występujących wewnątrz rastra. Jedną z najbardziej podstawowych sygnatur przestrzennych jest kompozycja. Stanowi ona podsumowanie ilości komórek danej kategorii występujących na analizowanym obszarze. Obok kompozycji wyróżnia się także konfigurację, która stanowi opis ilości komórek danych kategorii występujących w sąsiedztwie komórek innych kategorii.

Wyróżnia się także metody opisu struktur przestrzennych będące połączeniem wcześniej wspomnianych sygnatur. Jedną z takich metod jest między innymi macierz współwystępowania, którą tworzy się poprzez zliczenie wszystkich par sąsiadujących ze sobą komórek. W wyniku otrzymywana jest macierz o wymiarach  $k$  na  $k$ , gdzie  $k$  jest równe liczbie klas występujących w rastrze kategoriowym. Wewnątrz macierzy współwystępowania, wartości przekątne związane są z kompozycją rastra, natomiast wartości pionowe i poziome - z jego konfiguracją. Sygnaturą wykorzystaną do obliczeń w tej pracy był histogram współwystępowania, będący przekształceniem macierzy współwystępowania do postaci jednowymiarowej.

Wizualizacje danych przestrzennych stworzone zostały z wykorzystaniem pakietu *tmap* (Tennekes, 2021), natomiast do wizualizacji danych ilościowych wykorzystany został pakiet *ggplot2* (Wickham i in., 2021).

#### **4.2.1 Pakiet Motif**

Pakiet *motif* jest narzędziem o otwartym kodzie źródłowym, umożliwiającym analizy struktur przestrzennych dla dowolnych kategoriowych danych rastrowych za pomocą sygnatur przestrzennych. Sygnatury można obliczyć zarówno dla obszarów regularnych, takich jak siatka jednakowych kwadratów, jak i obszarów nieregularnych, jak np. jednostki podziału administracyjnego. Funkcje wewnątrz pakietu pozwalają na obliczenie siedmiu różnych sygnatur przestrzennych, takich jak:

- kompozycja,
- macierz współwystępowania,
- histogram współwystępowania,

- ważona macierz współwystępowania,
- ważony histogram współwystępowania,
- zintegrowana macierz współwystępowania,
- zintegrowany histogram współwystępowania.

Dodatkowo motyw umożliwia użytkownikom na stworzenie własnych sygnatur przestrzennych poprzez wykorzystanie funkcji zdefiniowanych wcześniej przez użytkowników wewnątrz funkcji pakietu. Pakiet zawiera także narzędzia umożliwiające wykonanie analiz przestrzennych, takich jak wyszukiwanie struktur przestrzennych, wykrywanie ich zmian oraz grupowanie obszarów o podobnej strukturze przestrzennej.

Poniżej, przedstawiony został przykład zastosowania pakietu *motif* w celu obliczenia macierzy współwystępowania ("coma"). W pakiecie *motif* do obliczania sygnatur przestrzennych służy funkcja *lsp\_signature()*. Jako pierwszy argument funkcja przyjmuje obszar badań w postaci rastra kategorycznego. W argumencie *type* należy określić rodzaj sygnatury przestrzennej, którą chcemy obliczyć. Argument *window* określa rozmiar kwadratów, wewnątrz których obliczana będzie sygnatura. Poniżej przedstawiona została funkcja umożliwiająca obliczenie macierzy współwystępowania ("coma"). Jako obszar badań podane zostały dane CLC dla całej Polski z roku 1990, natomiast oczekiwany rozmiar okien, wewnątrz których wykonywane będą obliczenia ustawiony został jako 100 komórek rastra.

```
library(motif)
library(stars)

#> Loading required package: abind
#> Loading required package: sf
#> Linking to GEOS 3.9.0, GDAL 3.2.1, PROJ 7.2.1

land_cover = read_stars("data/clc_poland.tif")
coma = lsp_signature(land_cover,
                     type = "coma",
                     window = 100)
```

```
coma
#> # A tibble: 3,337 x 3
#>       id na_prop signature
#>   * <int>   <dbl> <list>
#> 1     24  0.562 <int [7 x 7]>
#> 2     25  0.302 <int [7 x 7]>
#> 3     26  0.168 <int [7 x 7]>
#> 4     27  0.0464 <int [7 x 7]>
#> 5     28  0.0978 <int [7 x 7]>
#> 6     29  0.550 <int [7 x 7]>
#> 7     94  0.648 <int [7 x 7]>
#> 8     95  0.355 <int [7 x 7]>
#> 9     96  0.0316 <int [7 x 7]>
#> 10    97  0      <int [7 x 7]>
#> # ... with 3,327 more rows
```

W wyniku obliczeń otrzymany został obiekt klasy *lsp* zawierający trzy kolumny:

- *id* - unikatowy identyfikator każdego obszaru
- *na\_prop* - udział komórek *NA* w danym obszarze
- *signature* - sygnatura obliczona dla danego obszaru

Sygnaturę przestrzenną wybranego obszaru można obejrzeć poprzez wydzielenie jej z kolumny *signature*:

```
coma$signature[[24]]
#>   1  2  3 4  5 6  7
#> 1 28  26   0 0  0 0  0
#> 2 26 3814 270 0  0 0  0
#> 3  0 270 10368 0 211 3  2
#> 4  0  0   0 0  0 0  0
```

```
#> 5 0 0 211 0 528 0 125
#> 6 0 0 3 0 0 0 0
#> 7 0 0 2 0 125 0 23588
```

### 4.3 Przygotowanie danych do analizy struktury przestrzennej może jakaś inna nazwa?

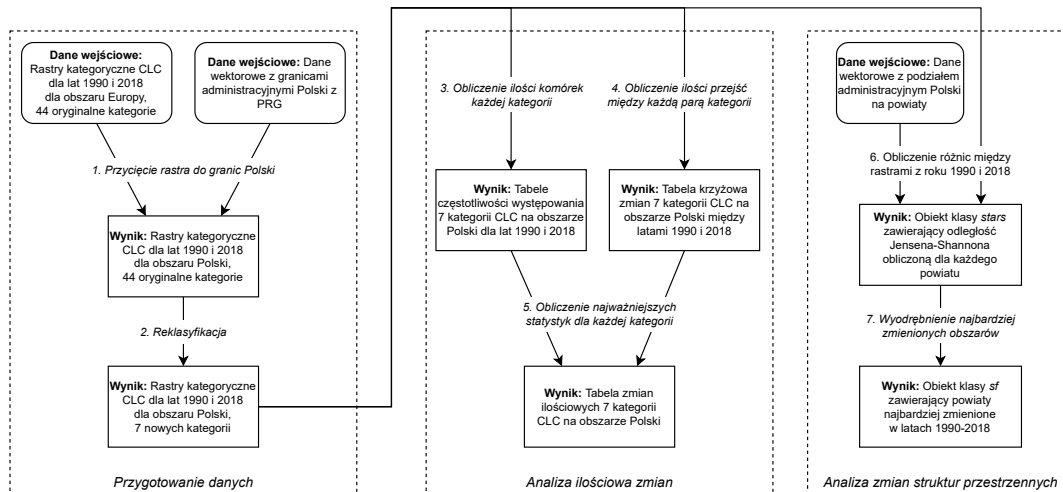
Rycina 4.2 przedstawia poszczególne kroki wykonane w celu pozyskania wyników umożliwiających dalszą analizę struktur przestrzennych na wyodrębnionych obszarach. Podany przykład jest wyłącznie uproszczeniem czynności wykonanych w rzeczywistości, ponieważ w sekcji “Analiza zmian pokrycia terenu” zawarty został wyłącznie proces pozyskania danych wyjściowych do analizy struktur przestrzennych na poziomie powiatów.

Wszystkie dane wykorzystane do przygotowania analizy zostały szczegółowo omówione w rozdziale 3. Ze względu na to, że pobrane dane rastrowe CLC obejmują obszar większy niż obszar analizowany w tej pracy, pierwszym krokiem przygotowania danych było przycięcie danych rastrowych do granic Polski.

Następnie, otrzymane rastry zostały poddane reklasyfikacji. Proces ten został dokładniej opisany w sekcji 4.1. Dane CLC oryginalnie udostępniane są na trzecim poziomie podziału kategorii pokrycia terenu. Oznacza to, że dane CLC dla wybranego regionu w Europie mogą zawierać aż 44 różne kategorie pokrycia terenu. W celu uniknięcia nadmiaru informacji powstałej przy próbie porównania zmian między taką ilością kategorii, dane zostały zreklasyfikowane do 7 kategorii. Przykład wpływu reklasyfikacji na ilość zawartych informacji na przykładzie obszaru miasta Poznań ilustruje rycina 4.1.

W wyniku przygotowania danych, otrzymane zostały rastry kategoriyczne CLC dla lat 1990 i 2018 zawierające informacje o 7 głównych kategoriach pokrycia terenu, przycięte do obszaru Polski.

Kolejny etap polegał na wykonaniu ilościowej analizy zmian pokrycia terenu dla całego analizowanego obszaru. W pierwszej kolejności (krok 3 na diagramie) obliczona



**Rysunek 4.2:** Czynności wykonane w celu otrzymania wyników umożliwiających analizę struktury przestrzennej obszarów powiatów.

została tabela częstotliwości występowania zreklasyfikowanych kategorii CLC w poszczególnych latach. Tabela ta zawiera informacje o ilości komórek danej kategorii występujących na rastrze dla danego roku. Następnie, obliczona została tabela krzyżowa (**użyć tego czy “tablica kontyngencji” - contingency table?**) zmian zreklasyfikowanych kategorii między analizowanymi latami (Tabela 5.2). Otrzymana tabela krzyżowa zawiera dane o wszystkich zmianach pokrycia terenu zaszłych między każdą możliwą parą kategorii pokrycia terenu. Ostatecznie, stworzona została tabela 5.1 zawierająca podstawowe statystyki podsumowujące zmiany zaszłe na obszarze Polski w podziale na zreklasyfikowane kategorie pokrycia terenu.

Obliczone statystyki to między innymi: suma powierzchni dla lat 1990 i 2018, bilans zmian między latami, ubytki i przyrosty powierzchni w analizowanym czasie oraz procentowa zmiana stanu danej kategorii. Podział na bilans zmian, ubytki oraz przyrosty wywodzi się z tego, że bilans zmian stanowi wyłącznie różnicę względną między stanem z roku 1990 a tym z roku 2018. Oznacza to, że gdy w teoretycznej sytuacji dwie komórki rastra, o różnych kategoriach, zmieniają swoje kategorie na kategorię drugiej komórki - bilans zmian pozostaje zerowy. Statystyka ta nie ukazuje zmian, które zaszły w komórkach, ze względu na to, że ilość komórek tych kategorii pozostała bez zmian. Aby uwzględnić takie zmiany, obliczono także różnicę względną między stanami z analizowanych lat w postaci ilości ubytków i przyrostów każdej kategorii. Ubytki danej

kategorii stanowią ilość komórek, które w roku 1990 należały do tej kategorii, natomiast w roku 2018 zmieniły swoją kategorię na dowolną inną. Przyrosty danej kategorii oznaczają ilość komórek, które w roku 1990 należały do pozostałych kategorii, a w roku 2018 zmieniły swoją kategorię na tą jedną. Zmiana między latami została obliczona jako stosunek stanu powierzchni z roku 2018 do stanu z roku 1990. Zmiana +50% oznacza, że powierzchnia z roku 2018 stanowi 150% powierzchni z roku 1990. Analogicznie zmiana -50% oznacza, że powierzchnia z roku 2018 stanowi 50% powierzchni z roku 1990.

Celem trzeciego etapu było pozyskanie obliczonych różnic w stanie struktur przestrzennych jednostek przestrzennych. W celu trafnego stwierdzenia prawidłowości dotyczących zmian struktury przestrzennej, dane zostały przeanalizowane na trzech poziomach:

- poprzez wydobycie wartości dla kwadratów o wymiarach 100 na 100 pikseli,
- na poziomie powiatowym
- na poziomie mezoregionów.

Pojedynczy obszar powstały poprzez wyodrębnienie kwadratów o wymiarach 100 na 100 pikseli obejmuje powierzchnię 10000 ha (100 km<sup>2</sup>).

Do ilościowej oceny wielkości zmian każdej jednostki wykorzystuje się miary niepodobieństwa (**odmienności?**). W tej pracy, do określenia stopnia zmian wykorzystano odległość Jensena-Shannona obliczoną dla każdej jednostki przestrzennej. Miara ta przyjmuje wartości od 0 do 1. Wartość 0 oznacza, że na danym obszarze między badanymi okresami nie zaszły żadne zmiany, natomiast wartość 1 oznacza brak podobieństw między analizowanymi obszarami, czyli całkowitą zmianę pokrycia terenu. **nie wiem co jeszcze mógłbym tu dopisać, ale zdecydowanie czegoś brakuje**

Ostatnim krokiem etapu oceny zmian struktur przestrzennych było znalezienie obszarów, które w latach 1990-2018 zmieniły się najbardziej. Aby poprawnie przeanalizować trendy zmian pokrycia terenu wśród tych obszarów, wyodrębniono po 6 najbardziej

zmienionych obszarów z każdego rodzaju wykorzystanych jednostek przestrzennych (kwadraty 10 na 10km, powiaty, mezoregiony).





## Rozdział 5

# Wyniki

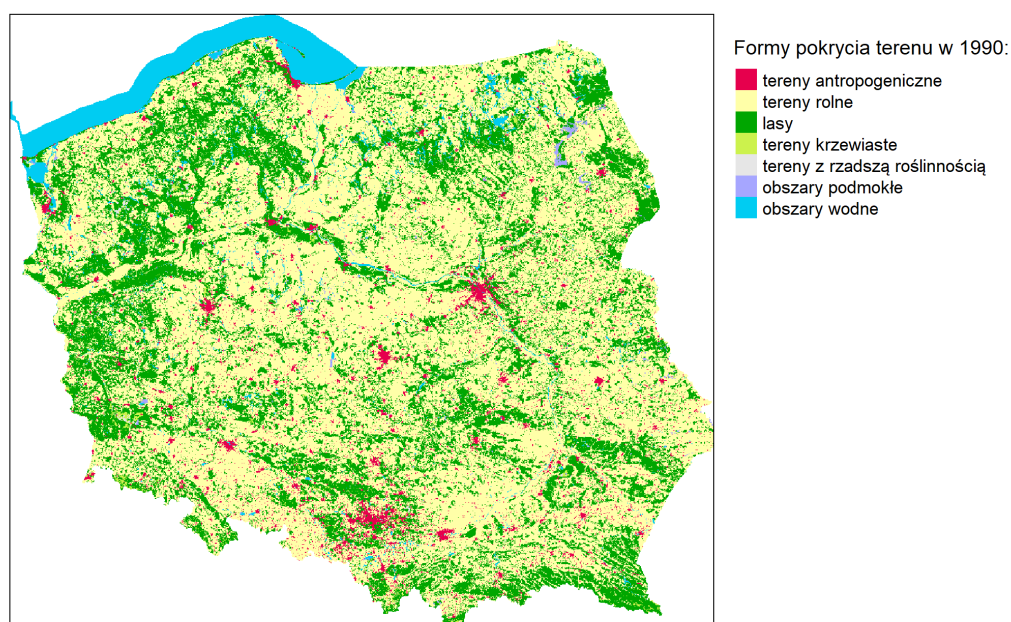
### 5.1 Analiza zmian na poziomie krajowym

Jednym z celów tej pracy było sporządzenie map opartych o dane CORINE Land Cover dla lat 1990 i 2018, zreklasyfikowanych do 7 kategorii pokrycia terenu, aby umożliwić ogólną ocenę stanu pokrycia terenu dla tych lat. Mapy te zostały przedstawione poniżej (rycina 5.1, rycina 5.2). Pomimo zastosowania wyłącznie 7 kategorii, analiza zmian pokrycia terenu w skali całego kraju na podstawie wizualnego porównania tych map byłaby prawdopodobnie równie trudna, co błędna. W celu zminimalizowania ilości błędów w analizie zmian w skali krajowej, wykonana została analiza ilościowa zmian pokrycia terenu, oparta o podejście typowo statystyczne.

Udział poszczególnych kategorii pokrycia terenu w całkowitej powierzchni Polski przedstawiony został na rycinie 5.3 i rycinie 5.4.

#### 5.1.1 Analiza ilościowa zmian pokrycia terenu

Zmiany pokrycia terenu w latach 1990-2018 w Polsce objęły powierzchnię 2556965 ha, co stanowi 7,9% całkowitej powierzchni kraju (Tabela 5.1). Największe zmiany pokrycia terenu w tym czasie dotyczyły wzrostu ilości terenów antropogenicznych. Tereny te zyskały 902804 ha powierzchni, co oznacza wzrost o 87,9%. Najdynamiczniej rozwinęły się tereny krzewiaste, które zwiększyły swoją powierzchnię o 159% względem

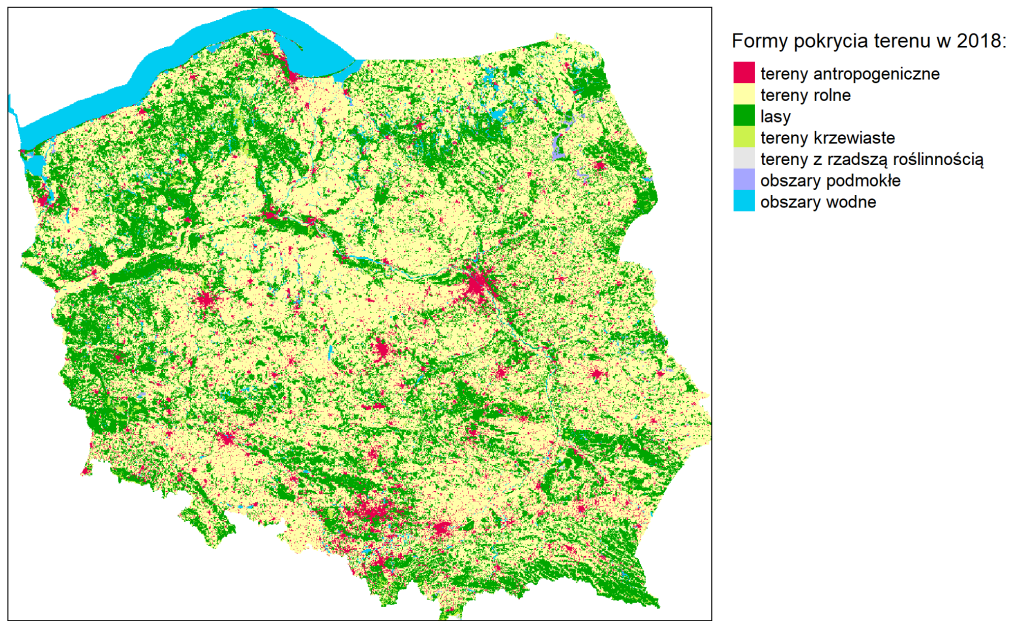


**Rysunek 5.1:** *Corine Land Cover 1990 po reklasyfikacji*

**Tablica 5.1:** *Zmiany pokrycia terenu w latach 1990-2018 na podstawie danych CLC*

Kategoria pokrycia terenu	Powierzchnia w 1990r. [ha]	Powierzchnia w 2018r. [ha]	Bilans zmian [ha]	Ubytki [ha]	Przyrosty [ha]	Zmiana między latami [%]
tereny antropogeniczne	1026488	1929292	902804	75105	977909	87.95
tereny rolne	20114641	18355663	-1758978	1909254	150276	-8.74
lasy	9225875	9704992	479117	344266	823383	5.19
tereny krzewiaste	232503	602275	369772	164761	534533	159.04
tereny z rzadszą roślinnością	35801	14644	-21157	23704	2547	-59.10
obszary podmokłe	117688	111307	-6381	29771	23390	-5.42
obszary wodne	1519078	1553901	34823	10104	44927	2.29

początku analizowanego okresu. Największe straty odnotowano na terenach rolnych, ich powierzchnia w roku 2018 zmniejszyła się o 1758978 ha. Pomimo największych strat spośród wszystkich analizowanych kategorii, powierzchnia terenów rolnych zmniejszyła się jedynie o 8,7%. Ilość terenów z rzadszą roślinnością zwiększyła się w najmniejszym stopniu i jednocześnie tereny te odnotowały najbardziej dynamiczną stratę powierzchni w analizowanym okresie. Tereny z rzadszą roślinnością odnotowały najmniejszy przyrost oraz łączną utratę 59,1% powierzchni, co stanowi najbardziej dynamiczną stratę powierzchni w stosunku do stanu z 1990 roku spośród analizowanych kategorii pokrycia terenu. Kategorią, która zmieniła się w najmniejszym stopniu były obszary wodne. Całkowita powierzchnia tych terenów wzrosła wyłącznie o 2,3%.

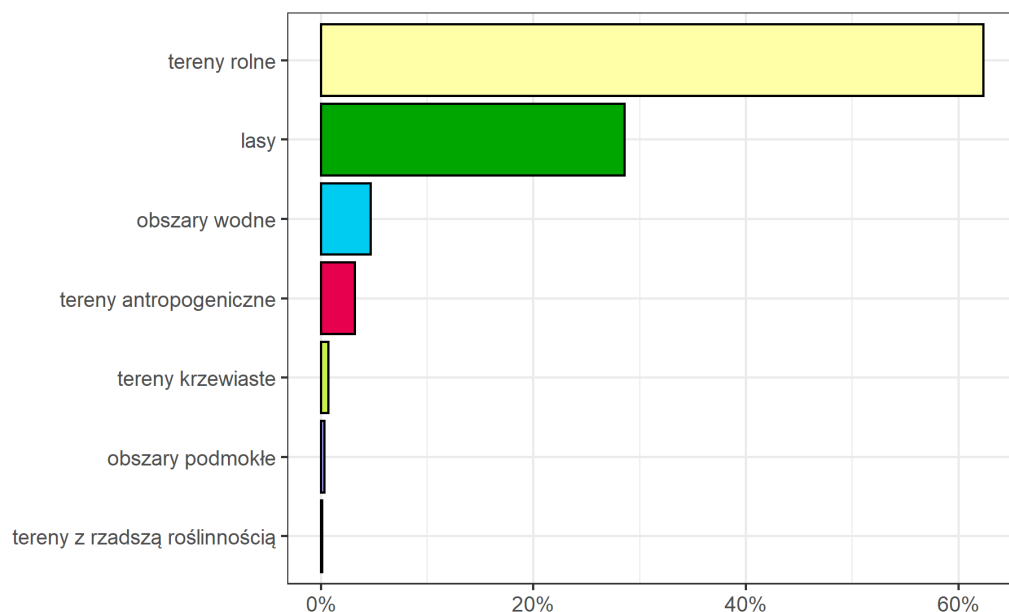


**Rysunek 5.2:** *Corine Land Cover 2018 po reklasyfikacji*

**Tablica 5.2:** *Macierz zmian pokrycia terenu w latach 1990-2018 [ha]*

	1	2	3	4	5	6	7
1	951383	48471	14822	7967	62	193	3590
2	941672	18205387	641052	283396	187	14293	28654
3	29804	77492	8881609	223619	472	6224	6655
4	2884	9841	148885	67742	1618	1181	352
5	1272	422	6513	14526	12097	103	868
6	630	10477	9125	4731	0	87917	4808
7	1647	3573	2986	294	208	1396	1508974

Tabela 5.2 przedstawia wynikową tabelę krzyżową, wykonaną w celu oszacowania ilościowych zmian między zreklasyfikowanymi kategoriami pokrycia terenu dla danych rastrowych dla lat 1990 i 2018. Kategorie z roku 1990 ułożone są w wierszach tabeli, natomiast w kolumny stanowią kategorie z roku 2018. Oznacza to, że np. kolumna tabeli oznaczona kategorią "1" informuje nas o ilości komórek z roku 1990 w których komórki zmieniły się na kolejne kategorie. Przecięcia wierszy i kolumn oznaczonych tymi samymi kategoriami informują o ilości komórek rastra, które w analizowanych latach się nie zmieniły. Numeracja kategorii w tabeli odpowiada kolejności kategorii przedstawionej w podrozdziale 4.1.

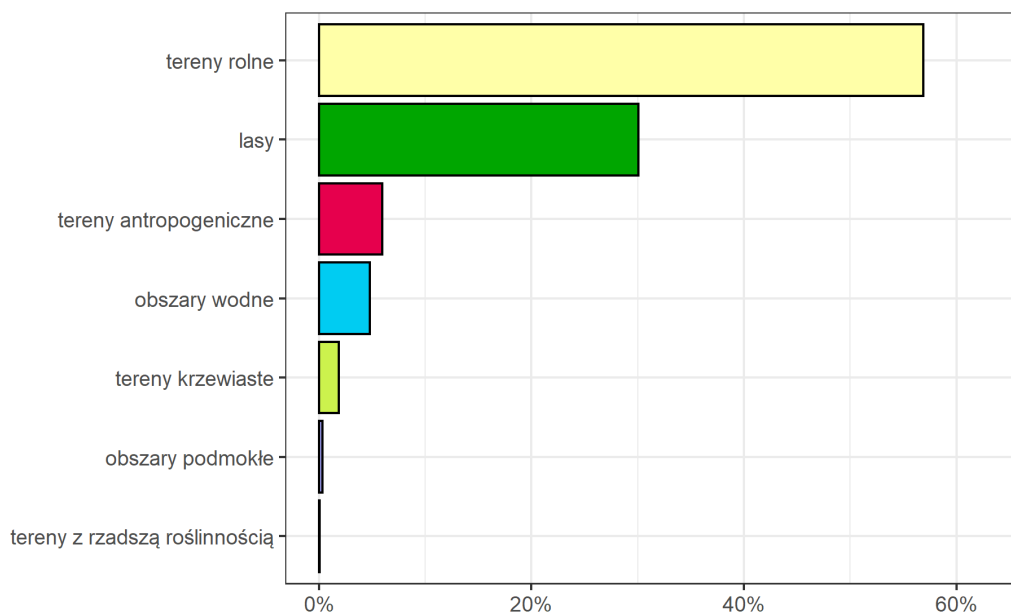


**Rysunek 5.3:** Procentowy udział form pokrycia terenu dla roku 1990

Na podstawie tabeli 5.2 opracowana została rycina 5.5, przedstawiająca najważniejsze trendy zmian pokrycia terenu w sposób graficzny. Kategorie pokrycia terenu zostały podzielone na osobne wykresy, reprezentujące przyrosty kategorii w 2018 roku. Kolory wewnątrz wykresów informują o tym jaką część przyrostów powierzchni danej kategorii stanowią komórki, które w roku 1990 należały do pozostałych kategorii.

Analizując rycinę 5.5 można zauważyć pewne tendencje wśród zmian pokrycia terenu. Najważniejsze trendy zmian pokrycia terenu, stanowiące największe straty pokrycia terenu w kategorii pierwotnej:

- tereny antropogeniczne -> tereny rolne
- tereny rolne -> tereny antropogeniczne i obszary leśne
- obszary leśne -> tereny krzewiaste
- tereny krzewiaste -> obszary leśne
- tereny z rzadszą roślinnością -> tereny krzewiaste
- obszary podmokłe -> tereny rolne i obszary leśne
- obszary wodne -> tereny rolne i obszary leśne

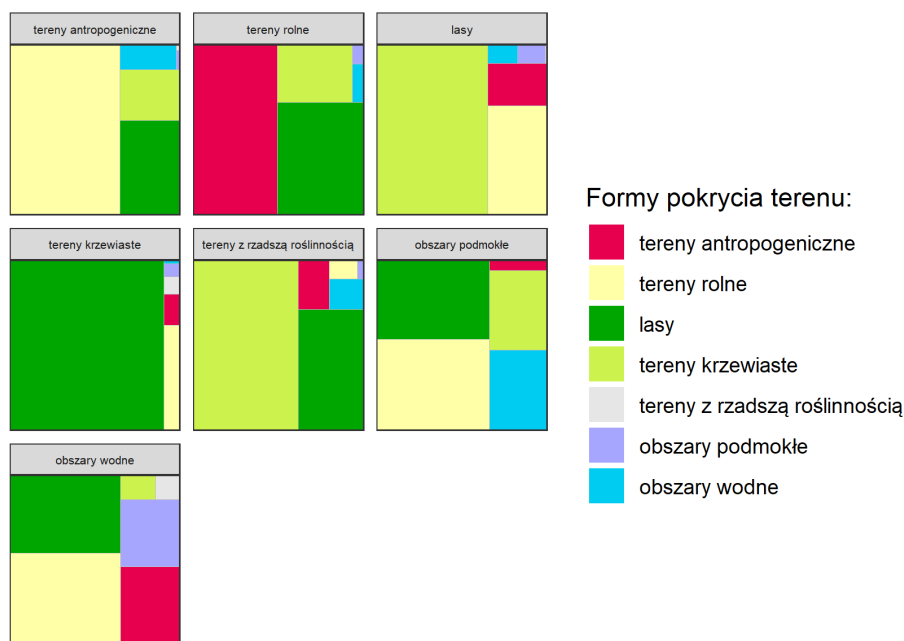


**Rysunek 5.4:** Procentowy udział form pokrycia terenu dla roku 2018

### 5.1.2 Lokalizacje największych zmian w skali krajowej

Lokalizacje komórek rastra, które w okresie 1990-2018 zmieniły kategorie pokrycia terenu przedstawia rycina 5.6. Analizując rycinę, zauważyć można występowanie zmian zarówno o charakterze rozproszonym, jak i skoncentrowanym. Największą ilość zmian o charakterze rozproszonym zauważyć można w południowej części kraju na obszarze całego województwa śląskiego oraz zachodniej części województwa małopolskiego. Dużą ilością rozproszonych zmian pokrycia terenu cechują się także województwo mazowieckie, województwo świętokrzyskie, centralna część województwa podkarpackiego oraz zachodnia część województwa dolnośląskiego. Znaczna większość zmian na tych obszarach stanowi zmianę z terenów rolnych w tereny antropogeniczne.

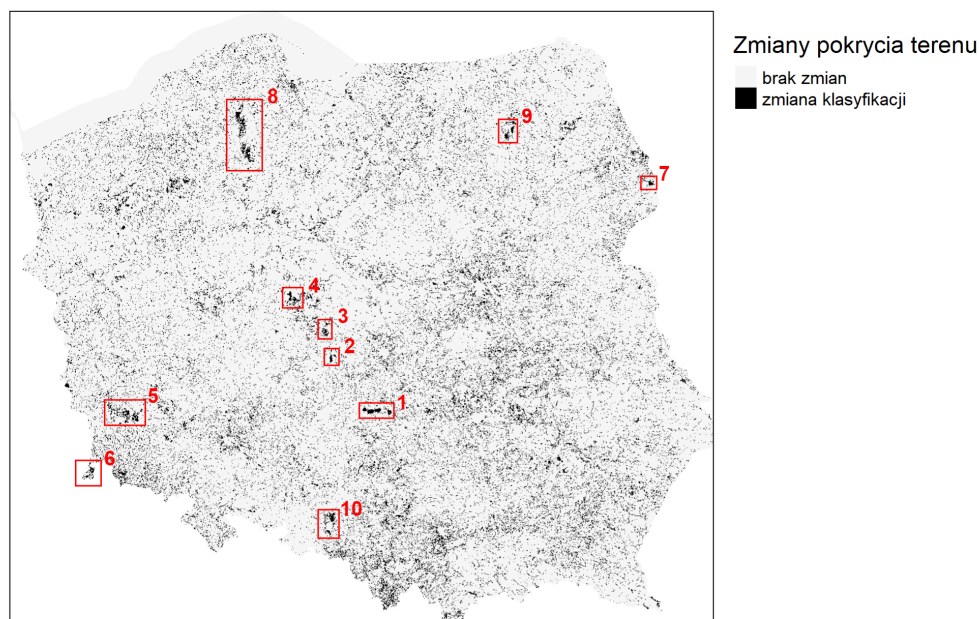
Obszary na których zaszły znaczne zmiany pokrycia terenu o charakterze skoncentrowanym wymienione zostały poniżej, wraz z wyjaśnieniem w jakim miejscu znajdują się te obszary, i z jakimi zmianami kategorii są związane. Duże obszary zmienione w wyniku działalności człowieka:



**Rysunek 5.5:** *Udział poszczególnych kategorii w zmianie pokrycia terenu*

1. Kopalnia Węgla Brunatnego Bełchatów i zwałowisko zewnętrzne Góra Kamieńska, będąca jego skutkiem. Lasy i tereny rolne zostały przekształcone w tereny antropogeniczne.
2. Rezerwat przyrody Jeziorsko Obszary wodne powstałe z terenów podmokłych.
3. Kopalnia Węgla Brunatnego Adamów Tereny leśne i rolne przekształcone w tereny antropogeniczne, powstanie sztucznego zbiornika wodnego.
4. Kopalnia Węgla Brunatnego Konin Tereny rolne przekształcone w tereny antropogeniczne, powstanie sztucznego zbiornika wodnego.
5. Ośrodek Szkolenia Poligonowego Wojsk Lądowych Żagań Różne przejścia między kategoriami, głównie zmiana terenów z rzadszą roślinnością w tereny krzewiaste oraz terenów krzewiastych w tereny zalesione.
6. Kopalnia Węgla Brunatnego Turów Tereny rolne przekształcone głównie w tereny antropogeniczne.
7. Zalew Siemianówka Zmiana terenów podmokłych w obszary wodne oraz zmiana terenów rolnych w tereny podmokłe. Skutek spiętrzenia wód w zbiorniku zaporowym.

Duże obszary zmienione w wyniku zjawisk naturalnych:



**Rysunek 5.6:** *Binarna mapa zmian klasyfikacji dla lat 1990-2018*

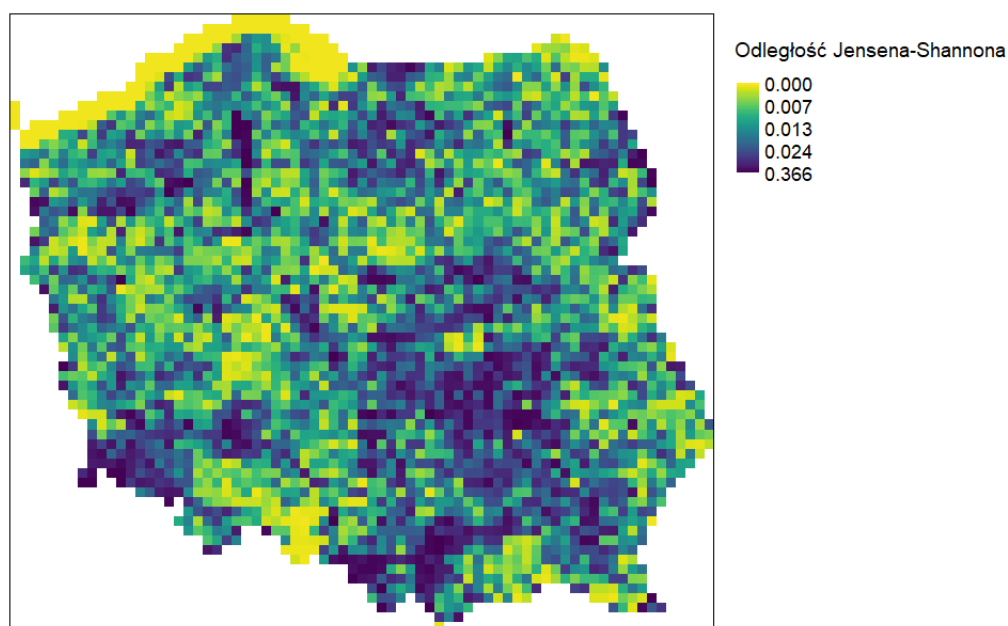
8. Bory Tucholskie Zmiana ogromnych ilości terenów leśnych w tereny krzewiaste. Konsekwencje wichury i nawałnicy z 2017 roku.
9. Mazury, nadleśnictwo Pisz Przemiana terenów krzewiastych w tereny leśne. Skutki trąb powietrznych z 2002 roku oraz działań zapobiegających dalszego zniszczenia lasów poprzez wykonanie licznych pasów przeciwpożarowych.
10. Kotlina Raciborska, nadleśnictwo Rudy Raciborskie Pożar lasu w nadleśnictwie Rudy Raciborskie z 1992 roku. Pożar strawił 9062 ha lasów. Następnie w roku 2017 zniszczenia lasów spowodowane trąbą powietrzną.

## 5.2 Analiza zmian struktur przestrzennych dla wyodrębnionych jednostek przestrzennych

Ocena struktur przestrzennych wykonana została poprzez podział analizowanego obszaru na mniejsze jednostki przestrzenne. W celu prawidłowej oceny zmian, obliczenia wykonano dla trzech różnych jednostek przestrzennych:

- wewnątrz kwadratów o wymiarach 100 na 100 pikseli,





**Rysunek 5.7:** *Odległość Jensena-Shannona obliczona dla oczek siatki o wymiarach 10x10km*

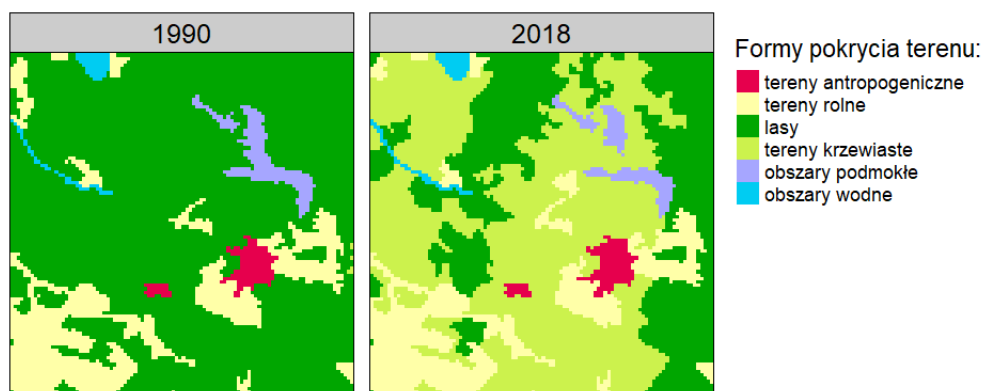
- na poziomie powiatowym
- na poziomie mezoregionów.

Następnie, ocena zmian struktur przestrzennych wykonana została za pomocą metod opartych o sygnatury przestrzenne. Do określenia stopnia zmian między tymi samymi jednostkami przestrzennymi w analizowanych latach wykorzystano odległość Jensena-Shannona. Parametr ten przyjmuje wartości od 0 do 1. Wartość 0 oznacza brak zmian w strukturze przestrzennej, natomiast wartość 1 wskazuje na ich całkowitą zmianę. Na podstawie wartości tego parametru, wyodrębnione zostało 6 najbardziej zmienionych obszarów, dla każdego rodzaju wykorzystanych jednostek przestrzennych, w celu przeanalizowania zmian, które zaszły na tych obszarach.

### 5.2.1 Analiza zmian regularnych obszarów 10 na 10 km

Wartości obliczonych odległości Jensena-Shannona dla kwadratów 10 na 10 km przedstawione zostały na rycinie 5.7. Podobnie jak na rycinie 5.6, duże ilości zmian struktury przestrzennej widoczne są głównie w południowej części kraju. Największe zmiany widoczne są na obszarze województw: świętokrzyskiego, małopolskiego, śląskiego oraz



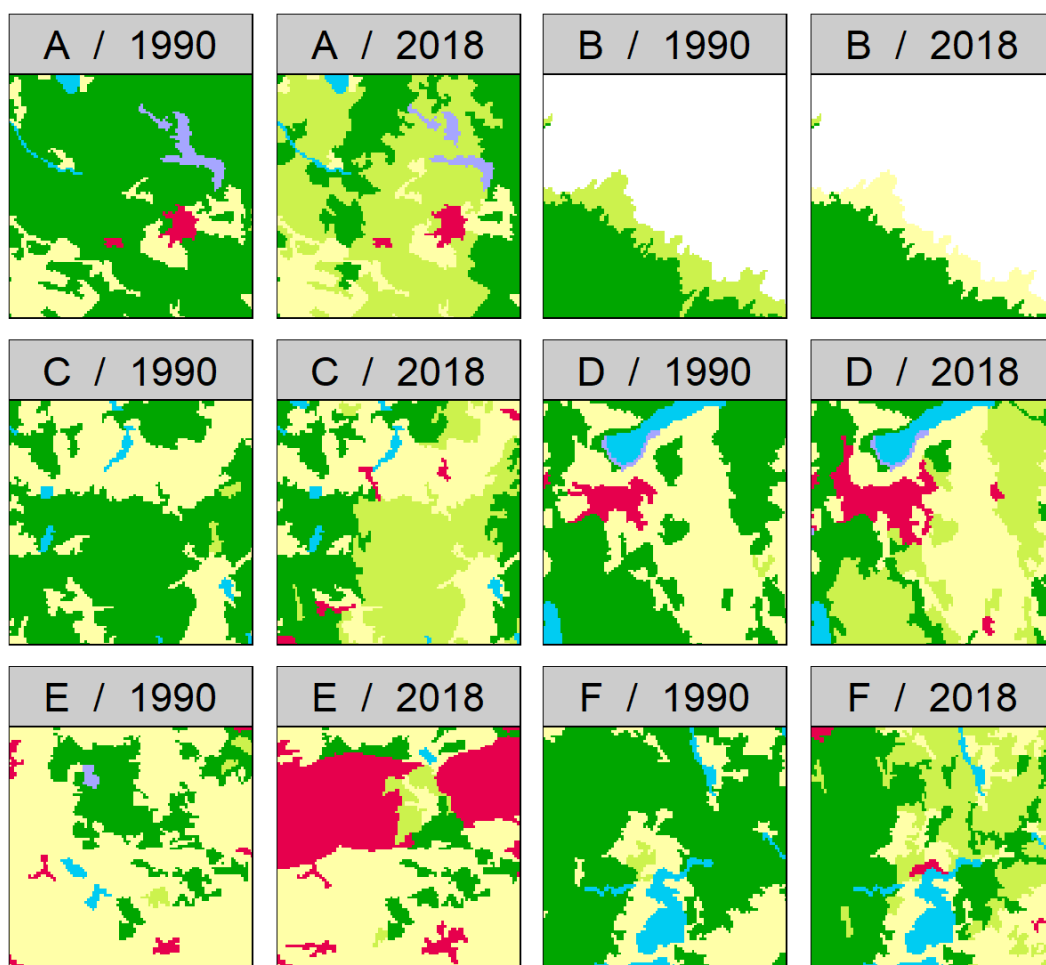


**Rysunek 5.8:** Obszar z największymi zmianami w siatce 10x10km

dolnośląskiego. Najmniejsze zmiany zauważyć można na obszarze morza terytorialnego oraz na południu Polski na terenie Płaskowyżu Głubczyckiego.

Rycina 5.8 przedstawia obszar na którym zaszły największe zmiany między analizowanymi latami. Obszar ten swoim zasięgiem obejmuje głównie zachodnią część gminy Czersk, znajdującej się w południowej części województwa pomorskiego. Obszar ten został spustoszony przez nawałnicę w 2017 roku. Analizując powyższą rycinę, łatwo zauważyć, że latach 1990-2018 ogromna ilość lasów na tym obszarze została zastąpiona przez tereny krzewiaste. W północno-wschodniej części tego obszaru widoczna zmiana części obszarów podmokłych, także na rzecz obszarów krzewiastych. Jako że nie jest to obszar zamieszkały przez dużą ilość ludzi, nie wystąpiły tu żadne inne znaczące zmiany pokrycia terenu.

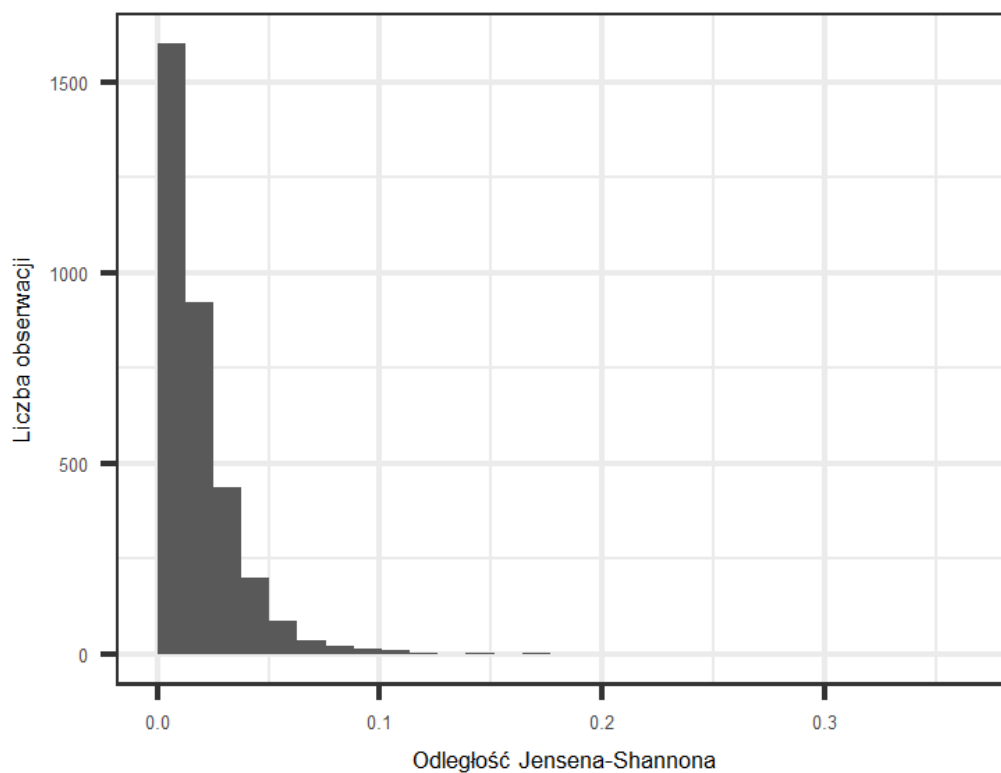
Rycina 5.9 przedstawia sześć regularnych obszarów 10 na 10 km o największych zmianach pokrycia terenu w latach 1990-2018. Wśród zmian na tych obszarach, najbardziej zauważalnym trendem wydaje się być zmiana obszarów leśnych na tereny krzewiaste. Kolejnym widocznym trendem jest przede wszystkim postępująca antropopresja w postaci rozrostu terenów o charakterze antropogenicznym. Proces ten jest szczególnie widoczny na obszarze oznaczonym literą E, który przedstawia centralną część Kopalni Węgla Brunatnego Bełchatów. Interesującym przykładem jest obszar B, obejmujący granicę Polski z Ukrainą we wschodniej części gminy Lutowiska. Na tym obszarze nastąpiła prawie całkowita przemiana terenów krzewiastych w tereny rolne,



**Rysunek 5.9:** 6 obszarów z największymi zmianami w siatce 10x10km. A - Zachodnia część gminy Czersk, B - Wschodnia część gminy Lutowiska, granica Polski z Ukrainą, C - Mezőregión Bory Tucholskie, D - Północna część gminy Pisz, E - Centralna część Kopalni Węgla Brunatnego Bełchatów, F - Mezőregión Bory Tucholskie. Obszar przylegający północną krawędzią do obszaru C.

co jest pewnym przełamaniem głównego trendu widocznego na pozostałych pięciu obszarach.

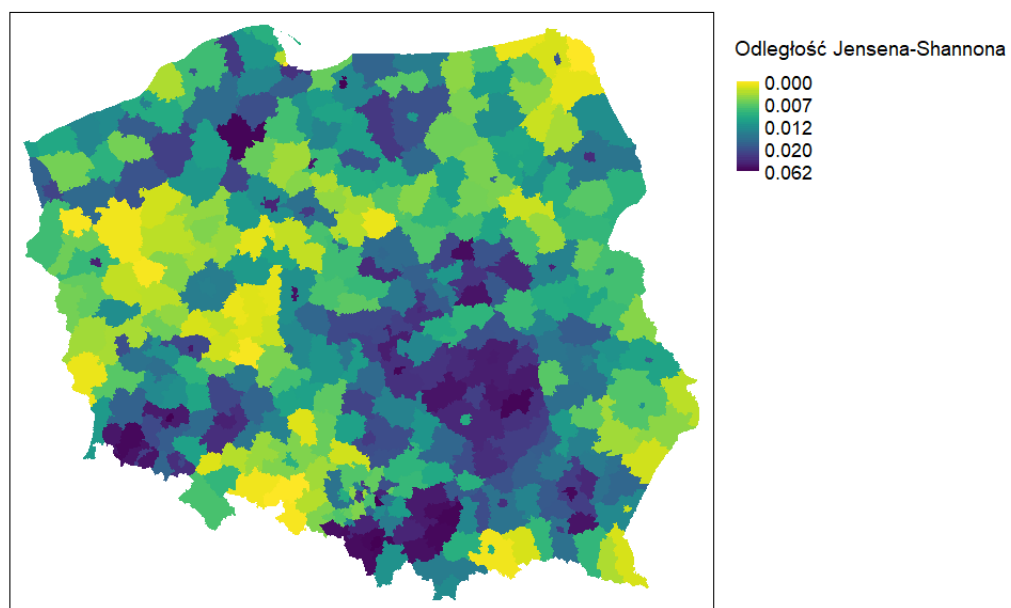
Określenie ilości obszarów o określonym stopniu zmian pokrycia terenu umożliwia sporządzony histogram widoczny na rycinie 5.10. Prawoskośny rozkład histogramu, z dominantą będącą wartością 0 odległości Jensena-Shannona oznacza, że w znacznej większości regularnych obszarów 10 na 10km nie zaszły żadne zmiany, lub były one bardzo niewielkie. Obszary o największych zmianach przedstawione na rycinie 5.9 stanowią na tym histogramie wartości ekstremalne.



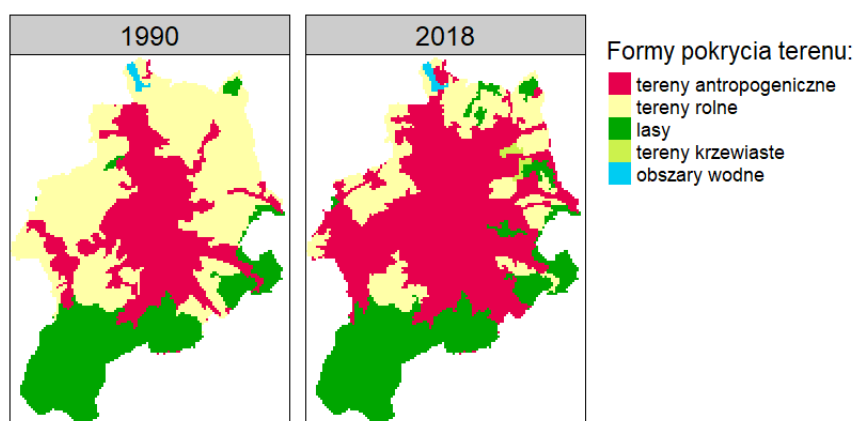
**Rysunek 5.10:** *Histogram dla siatki 10x10km*

### 5.2.2 Analiza zmian na poziomie powiatów

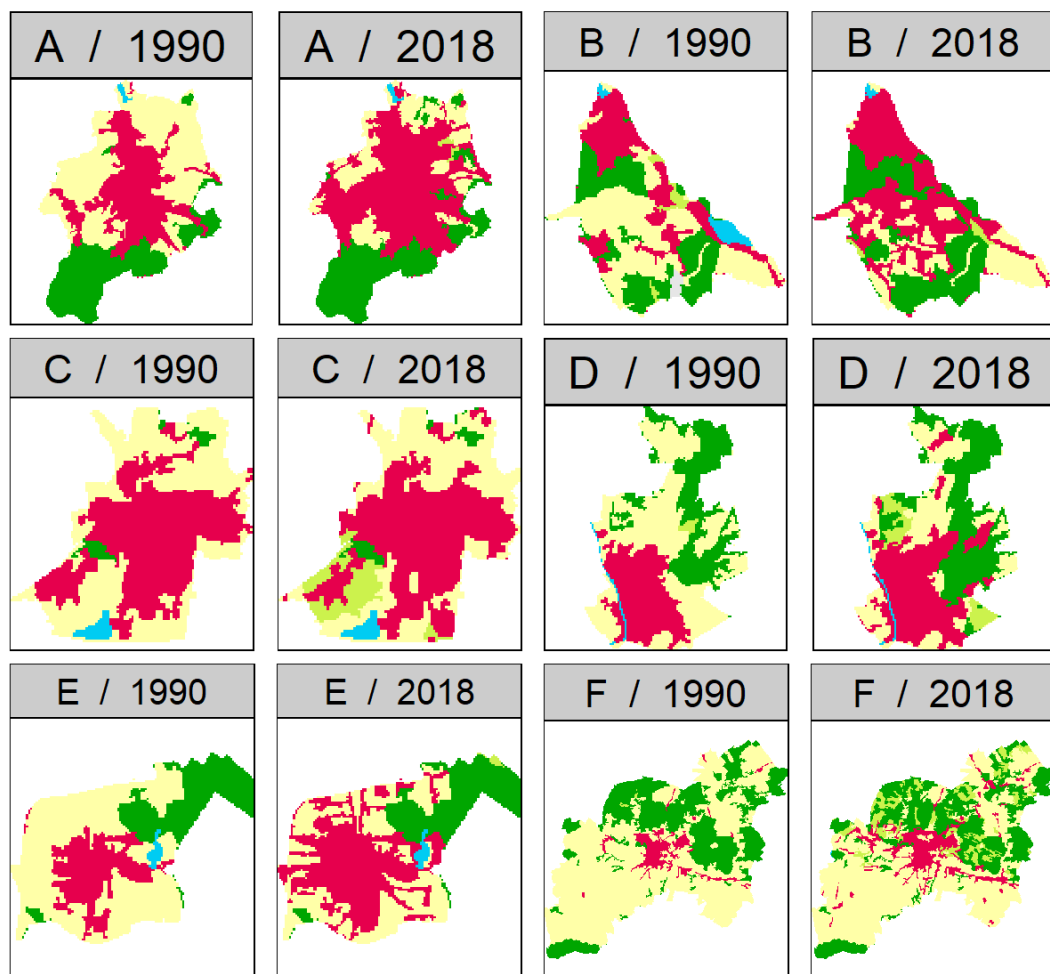
Wśród powiatów (5.11), najwyższe wartości odległości Jensena-Shannona zauważalne są w tych samych lokalizacjach, co dla regularnych obszarów 10 na 10 km. Poza tymi obszarami, wysokie wartości parametru osiągnęło także duża część miast na prawach powiatu.



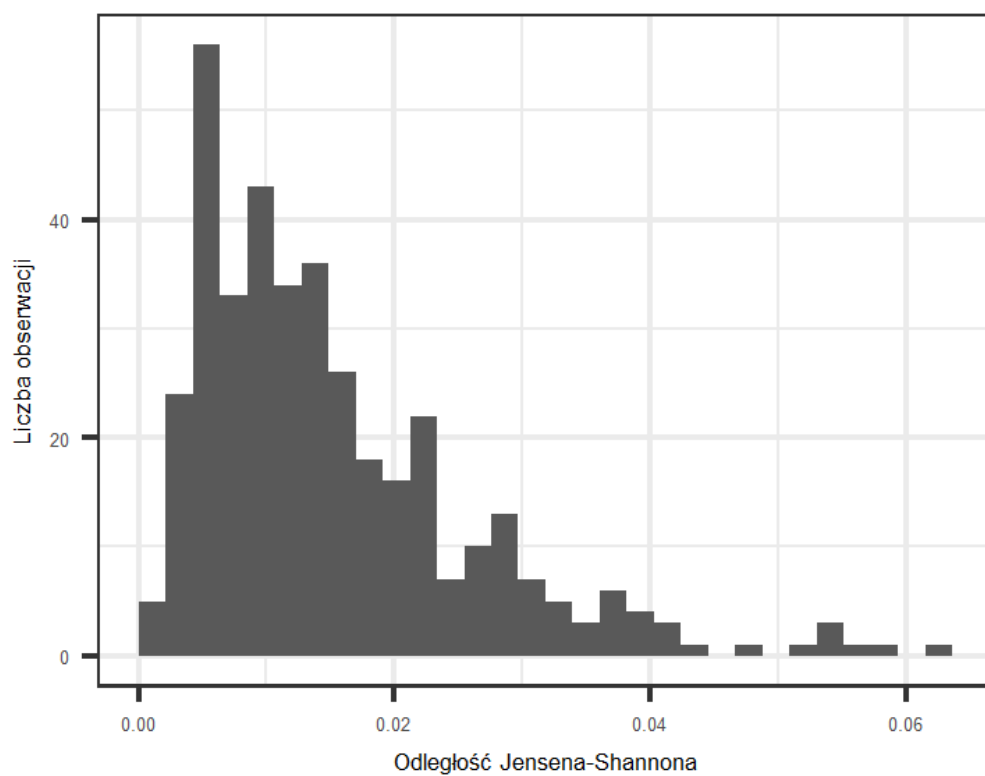
**Rysunek 5.11:** *Odległość Jensena-Shannona obliczona dla powiatów*



**Rysunek 5.12:** *Obszar z największymi zmianami wśród powiatów*



**Rysunek 5.13:** 6 obszarów z największymi zmianami wśród powiatów



**Rysunek 5.14:** *Histogram dla powiatów*

## **Rozdział 6**

# **Podsumowanie**





# Bibliografia

- Ciołkosz, A i Z Polawski (2006). Zmiany użytkowania ziemi w Polsce w drugiej połowie XX wieku. *Przegląd Geograficzny. Polska Akademia Nauk* **78**(2), 173–190.
- Jakub Nowosad, J, TF Stepinski i P Netzel (2019). Global assessment and mapping of changes in mesoscale landscapes: 1992–2015. *International Journal of Applied Earth Observation and Geoinformation* **78**, 332–340.
- Mierzwiak, M i B Całka (2019). Zmiany pokrycia terenu w Polsce w latach 1990-2012 na podstawie danych CORINE Land Cover. *Roczniki Geomatyki* **T. 17, z. 2(85)**, 127–140.
- Mucher, CA, KT Steinnocher, FP Kressler i C Heunks (2000). Land cover characterization and change detection for environmental monitoring of pan-Europe. *International Journal of Remote Sensing* **21**(6-7), 1159–1181.
- Nowosad, J (2021). *motif: Local Pattern Analysis*. R package version 0.5.0. <https://nowosad.github.io/motif/>.
- Ołędzki, JR i E Bielecka (1987). *Słownik podstawowych terminów używanych w teledetekcji*. Warszawa: Uniwersytet Warszawski, Polskie Towarzystwo Geograficzne.
- R Core Team (2020). *R: A Language and Environment for Statistical Computing*. R Foundation for Statistical Computing. Vienna, Austria. <https://www.R-project.org/>.
- Tennekes, M (2021). *tmap: Thematic Maps*. R package version 3.3-2. <https://github.com/mtennekes/tmap>.
- Wickham, H, W Chang, L Henry, TL Pedersen, K Takahashi, C Wilke, K Woo, H Yutani i D Dunnington (2021). *ggplot2: Create Elegant Data Visualisations Using the Grammar of Graphics*. R package version 3.3.5. <https://CRAN.R-project.org/package=ggplot2>.